

---

## Dipôle magnétique

---

### Table des matières

<b>1</b>	<b>Dipôle magnétique</b>	<b>2</b>
1.1	Définition et modélisation . . . . .	2
1.2	moment magnétique . . . . .	2
<b>2</b>	<b>Champ magnétique crée par un dipôle</b>	<b>2</b>
2.1	Approximation dipolaire . . . . .	2
2.2	Potentiel vecteur . . . . .	2
2.3	Champ magnétique crée par le dipole . . . . .	3
2.4	Comparaison des propriétés des champs électrostatique et magnétostatique	4

# 1 Dipôle magnétique

## 1.1 Définition et modélisation

- ▶ On appelle dipôle magnétique une boucle de courant d'intensité  $I$ , dont les dimensions sont faibles par rapport à la distance d'observation.
- ▶ On modélise un dipôle magnétique par une spire de courant  $I$

## 1.2 moment magnétique

Considérons une boucle de courant d'intensité  $I$

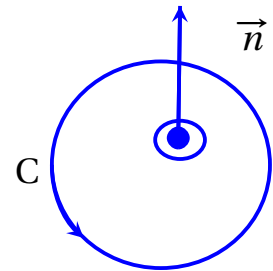
- $\vec{S} = S \vec{n}$  : vecteur surface du boucle
- le moment magnétique du boucle de courant

$$\vec{\mathcal{M}} = I \vec{S}$$

- ▶ dans le cas d'une spire circulaire de rayon  $R$ , parcourue par un courant  $I$ , le moment magnétique est

$$\vec{\mathcal{M}} = I \pi R^2 \vec{n}$$

- ▶ le moment magnétique s'exprime en  $A.m^2$

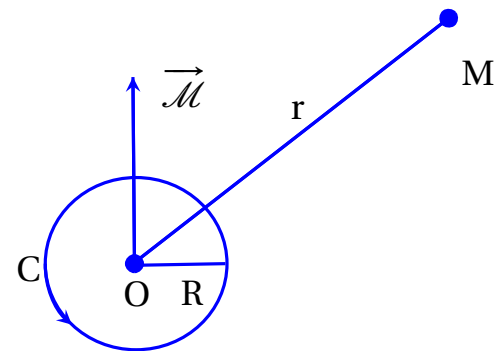


# 2 Champ magnétique crée par un dipôle

## 2.1 Approximation dipolaire

Elle consiste à prendre la distance  $r$  entre le point d'étude  $M$  et le boucle de courant très grande devant la dimension  $R$  du boucle

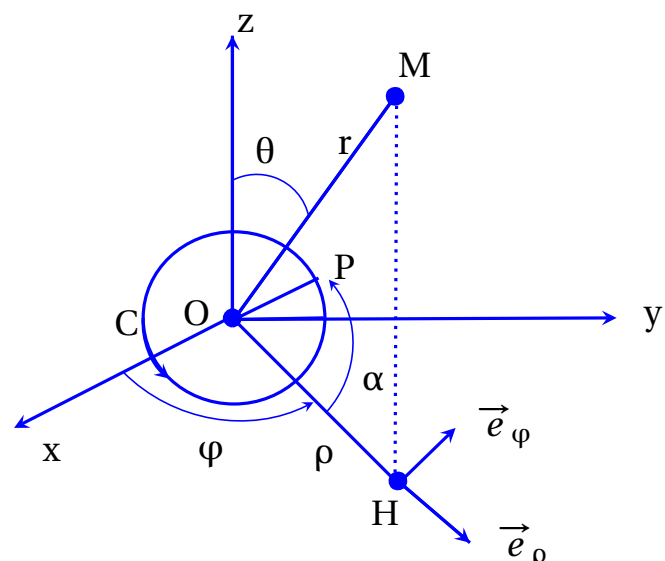
$$r \gg R$$



## 2.2 Potentiel vecteur

- $OM = r$  et  $OP = R$
- $\vec{OM} = r \vec{e}_r$
- $\vec{OM} = \rho \vec{e}_\rho + z \vec{e}_z$
- $\vec{OP} = R \cos \alpha \vec{e}_\rho + R \sin \alpha \vec{e}_\varphi$
- dans la base  $(\vec{e}_\rho, \vec{e}_\varphi, \vec{e}_z)$

$$\begin{aligned} d\vec{l} &= d\vec{OP} \\ &= -R \sin \alpha d\alpha \vec{e}_\rho + R \cos \alpha d\alpha \vec{e}_\varphi \end{aligned}$$



- $\vec{A}(M) = \frac{\mu_0 I}{4\pi} \oint_{(C)} \frac{\vec{dl}}{PM}$
- $PM^2 = (\vec{OM} - \vec{OP})^2 = (OM^2 + OP^2 - 2\vec{OM} \cdot \vec{OP}) = (r^2 + R^2 - 2\vec{OM} \cdot \vec{OP})$
- $\frac{1}{PM} = \frac{1}{r} \left( 1 + \frac{R^2}{r^2} - \frac{2\vec{OM} \cdot \vec{OP}}{r^2} \right)^{-1/2} \approx \frac{1}{r} + \frac{\vec{OM} \cdot \vec{OP}}{r^3}$
- $\vec{A}(M) = \frac{\mu_0 I}{4\pi} \left[ \oint_{(C)} \frac{1}{r} \vec{dl} + \frac{1}{r^3} \oint_{(C)} (\vec{OM} \cdot \vec{OP}) \vec{dl} \right] = \frac{\mu_0 I}{4\pi r^3} \oint_{(C)} (\vec{OM} \cdot \vec{OP}) \vec{dl}$
- $\vec{OM} \cdot \vec{OP} = \rho R \cos \alpha$
- $\oint_{(C)} \frac{1}{r} \vec{dl} = \frac{1}{r} \oint_{(C)} \vec{dl} = \vec{0}$
- le plan  $\varphi = cte$  est un plan d'antisymétrie de la distribution donc

$$\vec{A} = A \vec{e}_\varphi$$

- $A_\varphi = \frac{\mu_0}{4\pi} \frac{IR^2 \rho}{r^3} \int_0^{2\pi} \cos^2 \alpha d\alpha = \frac{\mu_0}{4\pi} \frac{I\pi R^2 \rho}{r^3}$
- $\sin \theta = \frac{\rho}{r}$

$$\vec{A} = \frac{\mu_0}{4\pi} \frac{I\pi R^2 \sin \theta}{r^2} \vec{e}_\varphi$$

- $\vec{e}_z \wedge \vec{e}_r = \sin \theta \vec{e}_\varphi$
- $\vec{\mathcal{M}} = I\pi R^2 \vec{e}_z$

$$\vec{A} = \frac{\mu_0}{4\pi} \frac{\vec{\mathcal{M}} \wedge \vec{r}}{r^3}$$

## 2.3 Champ magnétique crée par le dipole

- $\vec{A} = \frac{\mu_0}{4\pi} \frac{\mathcal{M} \sin \theta}{r^2} \vec{e}_\varphi$  avec  $\mathcal{M} = I\pi R^2$
- $\vec{B} = \text{rot} \vec{A}$
- $\text{rot} \vec{A} = \frac{1}{r \sin \theta} \left( \frac{\partial(\sin \theta A_\varphi)}{\partial \theta} - \frac{\partial A_\theta}{\partial \varphi} \right) \vec{e}_r + \frac{1}{r} \left( \frac{1}{\sin \theta} \frac{\partial A_r}{\partial \varphi} - \frac{\partial(r A_\varphi)}{\partial r} \right) \vec{e}_\theta + \frac{1}{r} \left( \frac{\partial(r A_\theta)}{\partial r} - \frac{\partial A_r}{\partial \theta} \right) \vec{e}_\varphi$
- $B_r = \frac{1}{r \sin \theta} \frac{d(\sin \theta A_\varphi)}{d\theta} = \frac{\mu_0 \mathcal{M}}{4\pi} \frac{2 \cos \theta}{r^3}$
- $B_\theta = -\frac{1}{r} \frac{d(r A_\varphi)}{dr} = \frac{\mu_0 \mathcal{M}}{4\pi} \frac{\sin \theta}{r^3}$
- $B_\varphi = 0$

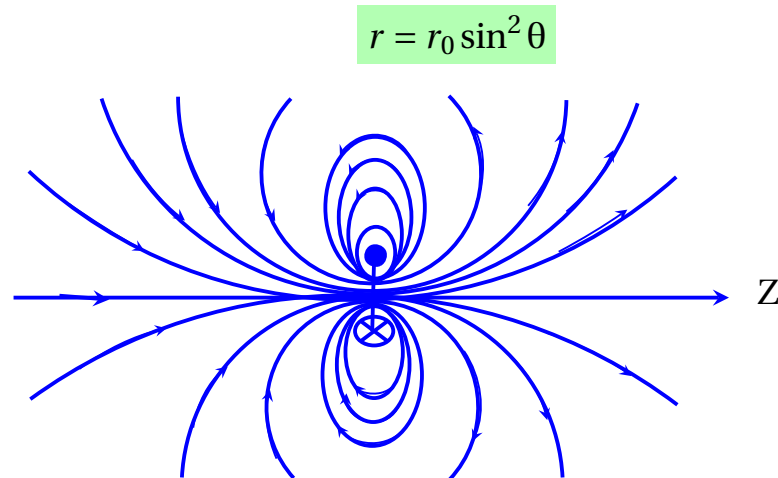
### ► Expression intrinsèque

$$\vec{B} = B_r \vec{e}_r + B_\theta \vec{e}_\theta$$

$$\vec{B} = \frac{\mu_0}{4\pi} \left[ \frac{3(\vec{\mathcal{M}} \cdot \vec{e}_r) \vec{e}_r - \vec{\mathcal{M}}}{r^3} \right]$$

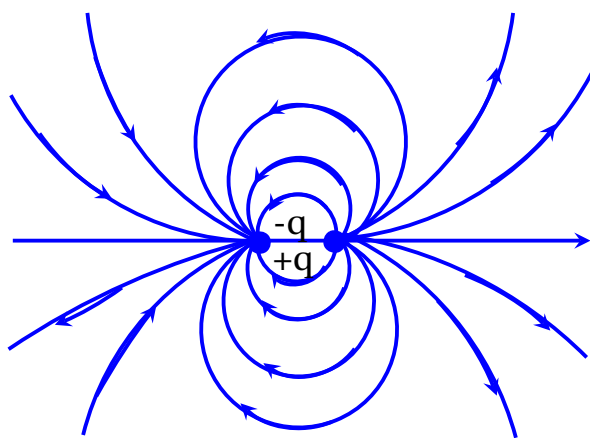
### ► lignes de champ

- l'équation des lignes de champ est donnée par :  $\vec{B} \wedge d\vec{l} = \vec{0}$
- $\frac{dr}{B_r} = \frac{r d\theta}{B_\theta}$
- $2 \frac{\cos \theta}{\sin \theta} d\theta = \frac{dr}{r}$

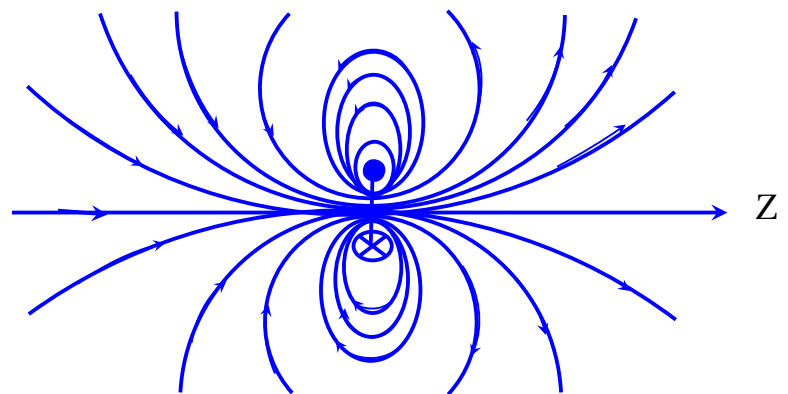


## 2.4 Comparaison des propriétés des champs électrostatique et magnétostatique

### ► Cartes du champ



dipôle électrostatique



dipôle magnétostatique

- les deux cartes obtenus sont clairement distinctes, car les comportements des champs au voisinage de leurs sources sont très différents : le champ électrostatique diverge à partir de ses sources (les charges) alors que le champ magnétostatique tourbillonne autour des courants (courants)

### ► autres propriétés

	champ électrostatique	champ magnétostatique
source	charges fixes	charges en mouvement (courants)
Champ	$d\vec{E}(\text{M}) = \frac{dq}{4\pi\epsilon_0} \frac{\vec{r}}{r^3}$	$d\vec{B} = \frac{\mu_0}{4\pi} \frac{d\vec{C} \wedge \vec{r}}{r^3}$
Relations de passage	$\vec{E}_2 - \vec{E}_1 = \frac{\sigma}{\epsilon_0} \vec{n}_{1 \rightarrow 2}$	$\vec{B}_2 - \vec{B}_1 = \mu_0 \vec{j}_s \wedge \vec{n}_{1 \rightarrow 2}$
circulation	$\mathcal{C} = \oint_{(C)} \vec{E}(\text{M}) \cdot d\vec{l} = 0$	$\mathcal{C} = \oint_{(C)} \vec{B} \cdot d\vec{l} = \mu_0 \sum_k \epsilon_k I_k$
flux	$\oiint_{(S)} \vec{E} \cdot d\vec{S} = \frac{Q_{int}}{\epsilon_0}$	$\oiint_{(S)} \vec{B} \cdot d\vec{S} = 0$
dipôle	$\vec{p} = q\vec{P_-P_+}$ (vecteur polaire)	$\vec{\mathcal{M}} = I \vec{S}$ (vecteur axial)
champ dipolaire	$\vec{E}(\text{M}) = \frac{1}{4\pi\epsilon_0} \frac{3(\vec{p} \cdot \vec{e}_r) \vec{e}_r - \vec{p}}{r^3}$	$\vec{B}(\text{M}) = \frac{\mu_0}{4\pi} \frac{3(\vec{\mathcal{M}} \cdot \vec{e}_r) \vec{e}_r - \vec{\mathcal{M}}}{r^3}$